

Volume: 02 Issue: 12 | Dec 2021 ISSN: 2660-5317

ВРЕМЕННАЯ РЕЛАКСАЦИЯ ФОТОЭЛЕКТРЕТНОГО СОСТОЯНИЯ В ФОТОВОЛЬТАИЧЕСКИХ ПЛЕНКАХ Cdte:Ag, Cd, Cu И Sb2Se3:Se

Нурматов О. Р., Абдуллаев Ш. Ш., Юлдашев Н. Х. Ферганский политехнический институт, Фергана, Узбекистан

Received 28th Oct 2021, Accepted 30th Nov 2021, Online 22th Dec 2021

Аннотация: В работе приведены результаты исследования новой аномальной фотоэлектрической поляризации тонких поликристаллических пленок на основе легированных полупроводниковых соединений CdTe и Sb2Se3. Подробно рассматриваются некоторые особенности временной кинетики фотополяризации пленочных фотоэлектретов «без внешнего поля», анализированы кривые фотополяризации и изопаака поляризации.

Ключевые слова: фотоэлектретное состояние, поляризующее поле, полупроводники CdTe, Sb2Se3, примеси Ag, Cd, Cu, время релаксациии, деполяризация, люкс-амперная и люкс-вольтовая характеристики.

- -

Введение. В полупроводниках электретное состояние может быть создано совместным действием внешнего электрического поля и света. Природа, механизмы и законы такого фотоэлектрета или фотоэлектретного состояния (ФЭС) изучали Г.С. Наджаков, Э.И. Адирович, В. Фридкин, С.М. Рывкиным и др. [1-7]. Э.И. Адирович и его ученики обнаружили в полупроводниковых пленках ФЭС с аномальными фотовольтаическими свойствами, возникающее только под действием света без внешнего поляризующего электрического поля [8-10]. Хотя широко известные фотоэлектретные и поляризационные процессы во внешнем поле достаточно изучены теоретически и экспериментально, однако ФЭС «без внешнего поле» и связь его с природой фотоэлектретного напряжения (ФЭН), его специфическими свойствами и параметрами тонких процессов фотополяризации еще не выяснена.

В данной работе представлены результаты исследований новой аномальной фотоэлектрической поляризации в тонких поликристаллических пленках на основе легированных полупроводниковых соединений CdTe и Sb_2Se_3 . Подробно рассматриваются некоторые особенности поляризации пленочных фотоэлектретов «без внешнего поля», исследуются кинетика поляризации и деполяризации $\Phi \Theta C$.

Как известно [11], для обычных кристаллических фотоэлектретов существуют следующие методы их поляризации:

- а). Фотополяризация светом из области собственного или примесного поглощения;
- б). Темновая поляризация;

Volume: 02 Issue: 12 | Dec 2021, ISSN: 2660-5317

- в). Фотополяризация светом из области инфракрасного поглощения, гасящим фототок;
- г). Температурная поляризация в области термического гашения фототока.

Для типичной фотополяризации полупроводник подключают на внешний источник постоянного напряжения и в течение определенного времени освещают светом, вызывающим собственную или примесную фотопроводимость. После образования $\Phi \mathcal{P} C$ сначала выключают свет, а затем устраняют электрические поле. Механизм образования $\Phi \mathcal{P} C$ при таком способе поляризации заключается в следующем: под действием света в объеме полупроводника генерируется свободные носители заряда, которые разделяются под действием внешнего постоянного поляризующего поля и неоднородно распределяются на глубоких центрах прилипания.

Поляризацию фотоэлектретов «без внешнего поля», полученных известными технологическими способами на основе легированных фотовольтаических пленок CdTe и Sb_2Se_3 , мы осуществляли следующими методами: фотополяризация без внешнего поляризующего поля; фотополяризация с внешним поляризующим полем; темновой поляризацией [11-14].

Эксперимент. Фотополяризацию без внешнего поляризующего поля можно произвести двумя принципиально отличающимися способами:

а). Фотоэлектретная пленка из CdTe:Ag (CdTe:Cd, CdTe:Cu) или Sb₂Se₃:Se подключается к электрометру и освещается естественным светом. Через несколько секунд электрометр фиксирует значение аномального фотонапряжения (AФH) $V_{A\Phi H}$, соответствующее данной величине освещенности L. Если в это время прекратить освещение, то генерированное пленкой фотонапряжение быстро исчезает полностью, т.е. еще не успевает происходить фотополяризация пленки. Когда образец находится под действием освещения в течение нескольких минут, то наблюдается остаточное фотонапряжение с долговременной релаксацией и следовательно, образуется ФЭС структуры. При этом степень фотополяризации, определяемая величиной остаточного фотонапряжения, характеризуется соответствующими значениями интенсивности света и временами фотополяризации. Для полного убеждения в наличии $\Phi \ni C$ контакты образца после прекращения действия света закорачивается на несколько секунд и, тем самым, исключается непосредственное влияние свободных носителей заряда, возникающих при освещении. Когда образец снова подключается κ электроизмерительному прибору, то через 1-2 секунд прибор показывает появление фотоэлектретного напряжения $V_{\Phi \ni H}$, значение которого увеличиваясь, через 6-10~c достигает максимума и затем очень медленно релаксируется. Максимальное стационарное значение этого фотоэлектретного напряжения является основным параметром, характеризующим Φ ЭС в пленке. Величина V_{Φ ЭН, тем больше, чем больше время и интенсивности возбуждающего света. Однако, начиная с определенного интервала времени освещения, зависящего от его интенсивности, происходит эффект насыщения фотополяризации пленки, т.е. дальнейшее освещение образца не приводит к увеличению величины $V_{\alpha \ni H}^{CT}$.

Отметим, что при таком способе поляризации, когда контакты образца находятся в разомкнутом положении, полярность фотоэлектретного напряжения $V_{\Phi \ni H}$ до и после закорачивания контактов были одинаковыми и совпадали с полярностью аномального фотоэлектрического напряжения $V_{A\Phi H}$.

б). Фотоэлектретная пленка подвергалась фотополяризации в замкнутом положении её электродов. При этом образец находился под действием естественного света в течении нескольких минут. После прекращения света контакты пленки размыкались и подключались к электрометру. Через 1–2 секунды прибор фиксировал появление фотоэлектретного напряжения, соответствующие образованию ФЭС в пленке. Дальнейший ход этого напряжения был аналогичным с первым

Volume: 02 Issue: 12 | Dec 2021, ISSN: 2660-5317

случаем фотополяризации образца, т.е. при разомкнутом положении её контактов. Максимальное стационарное значение $V_{\Phi \ni H}$, которое достигается при полной поляризации фотоэлектрета, во втором случае фотополяризации (замкнутые контакты) было на 20-30 % меньше, чем в первом случае, а время релаксации $V_{\Phi \ni H}$ в обоих случаях фотополяризации было приблизительно одинаковым. В отличие от первого случая, при фотополяризации пленки в замкнутом положении её контактов, полярность $V_{\Phi \ni H}$ была всегда противоположной полярности $V_{A\Phi H}$ в том же образце при одинаковых условиях освещения (фронтальное или тыловое).

Фотовольтаических пленка CdTe:Ag фотополяризовалась, прикладыванием к ней внешнего постоянного поляризующего поля. В случаях, когда направления внешнего поля и поля фотовольтаических совпадает, то эти поля поддерживали друг-друг и результирующие $V_{\phi \ni H}^{CT}$, и следовательно, $V_{\phi \ni H}^{CT}$ при данной интенсивности света имели большие значения, чем при отсутствии внешнего поля. Другими словами, при $\vec{E}_{\tiny{oneul.}} \uparrow \uparrow \vec{E}_{\tiny{ADH}}$

поля фотовольтаических и $\Phi \mathcal{I} H$ имеют одинаковые направления. 1

При $\vec{E}_{_{6Hell}} \uparrow \downarrow \vec{E}_{_{A}\Phi H}$ образование $\Phi \mathcal{P}C$ в $A\Phi H$ пленке носило более сложный характер. Так, при $V_{_{6H}} \leq V_{_{A}\Phi H}^{CT}$ генерировалось небольшое фотоэлектретное напряжение вдоль поля $A\Phi H$. Если увеличивать значение внешнего напряжения, то $V_{_{\Phi \mathcal{P}H}}^{CT}$ монотонно убывает, а при некотором $V_{_{6Hell}} = V_{_{A}\Phi H}^{CT} + \Delta V_{_{i}}$ пленка перестаёт генерировать $\Phi \mathcal{P}H$. Величина $\Delta V_{_{i}}$ зависела от интенсивности света, температуры и технологии изготовления пленки. При дальнейшем увеличении внешнего напряжения пленка вновь начинала генерировать $\Phi \mathcal{P}H$, но в обратном направлении, величина которого определяется разностью $V_{_{6Hell}} - (V_{_{A}\Phi H} + \Delta V_{_{i}})$.

Приводим результаты экспериментального изучения кинетики поляризации светом собственного поглощения и самопроизвольной деполяризации фотоэлектретных $A\Phi H$ пленок CdTe:Ag, CdTe:Cd, CdTe:Cu и $Sb_2Se_3:Se$. Исследуемые здесь пленки получились технологическим способом II и фотополяризовались при комнатной температуре на воздухе или в вакууме $\sim 10^{-2}$ мм. рт.ст. в режиме холостого хода. Кривые нарастания и спада $\Phi ЭH$ со временем у пленок, полученных другими способами, качественно не отличались от аналогичных характеристик упомянутых выше пленок.

Обсуждение результатов. Как отмечено в [11], если в квазинейтральной области фотоэлектрета с внешним полем концентрации основных носителей n(x,t) постоянна, то заряд $\Phi \mathcal{P} C$ со временем нарастает экспоненциально:

$$Q(t) = Q_0 \left[1 - \exp\left(-\frac{t}{\tau_M}\right) \right], \tag{1}$$

где $au_{\scriptscriptstyle M} = \frac{\varepsilon \varepsilon_0}{\sigma}$ - характеристическое время нарастания $\Phi \mathcal{D} C$, равное максвелловскому времени релаксации. Выражение, подобное (1), можно написать и для $\Phi \mathcal{D} H$ [10]:

$$V_{\varphi \ni H}(t) = V_{\varphi \ni H}^{CT} \left[1 - \exp\left(-\frac{t}{\tau_M}\right) \right], \tag{2}$$

 $^{^{1}}$ Что не соответствует результатам работы [10] при одних и тех же условиях поляризации фотовольтаических пленки.

где $V_{\phi \ni H}^{CT}$ - значение $\Phi \ni H$ на участке насыщения фотополяризационной кривой, $V_{\phi \ni H}(t)$ мгновенное значение $\Phi \ni H$, которое в (2) характеризует фотополяризацию образца в течение времени t.

$$\ell n \frac{V_{\phi \ni H}^{CT}}{V_{\phi \ni H}^{CT} - V_{\phi \ni H}} = t \cdot \frac{1}{\tau_M} = t \cdot \frac{\sigma}{\varepsilon \varepsilon_0} \left(1 - \frac{\sigma^{CT} - \sigma}{\sigma^{CT}} \cdot e^{-\frac{t}{\tau_{pes}}} \right), \tag{3}$$

отсюда

$$\frac{1}{t} \cdot \ell n \frac{V_{\phi \ni H}^{CT}}{V_{\phi \ni H}^{CT} - V_{\phi \ni H}} = \frac{\sigma}{\varepsilon \varepsilon_0} \left(1 - \frac{\sigma^{CT} - \sigma}{\sigma^{CT}} \cdot e^{-\frac{t}{\tau_{pes}}} \right), \tag{4}$$

На рис. 1, a приведены кривые нарастания фотоэлектретного напряжения от времени фотополяризации при различных значениях интенсивности света для пленки CdTe:Ag. Все кривые фотополяризации носят релаксационный характер и наблюдается тенденция к насыщению в соответствии с формулой (2). Значение фотоэлектретного напряжения на участке насыщения равно стационарному фотоэлектретному напряжению $V_{\phi \Im H}^{\it CT}$.

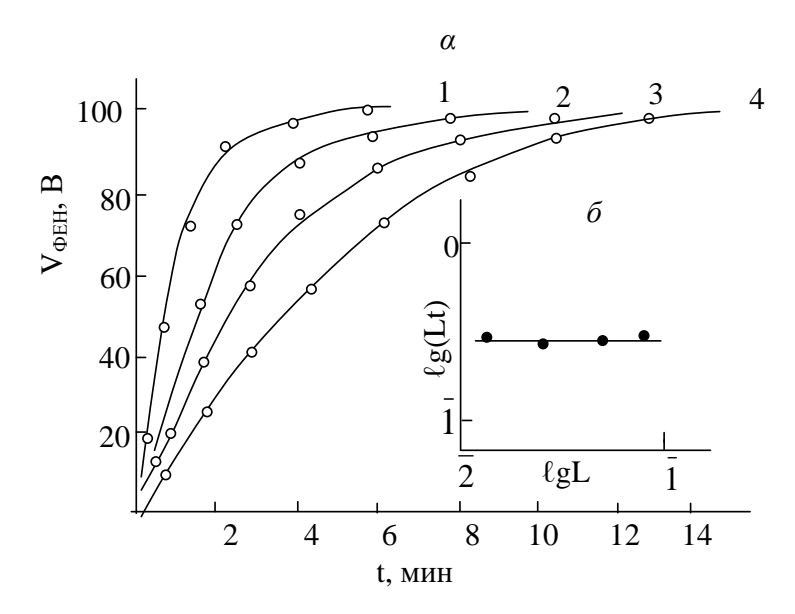


Рис. 1. Зависимости $V_{\phi \ni H}$ от времени фотополяризации при различных значениях освещенности (а) и изоопака поляризации (б) для фотовольтаических пленок CdTe: Ag при T = 20 $^{\circ}C$, $L:10^2 = 1 - 8$, 2-4.0, 3-3.0, 4-2.0, 2-1.1 BT/cm².

Из кривых фотополяризации следует, что при различных значениях интенсивности света стационар-ное значение $\Phi \ni H$ устанавлива-ется за разное время поляризации.

Причем, с уменьшением освещен-ности время фотополяризации увеличивается, т.е. поляризационные кривые $V_{\phi \ni H}(t)$ фотоэлектрет-ной $A\Phi H$ пленки качественно сходятся с аналогичными кривыми фотоэлектретов с внешним полем. На кривых фотополяризации $A\Phi H$ пленок наблюдается небольшое отклоне-ние от экспоненциальной зависимости, которое и следует из (4).

На рис. 2, a показана люкс-вольтвая характеристика $A\Phi H$ пленки CdTe : Ag . Из рисунка видно, что люкс-вольтовая характеристика $A\Phi H$ эффекта в области интенсивности света $L < 5 \cdot 10^4$ лк близка к линейной, а в области $L = 5 \cdot 10^4 \div 3 \cdot 10^5$ лк величина $V_{\phi \ni H}$ практически насыщается. На рис. 2, a показана люкс-вольтвая характеристика $A\Phi H$ пленки CdTe : Ag . Из рисунка видно, что люкс-вольтовая характеристика $A\Phi H$ эффекта в области интенсивности света $L < 5 \cdot 10^4$ лк близка к линейной, а в области $L = 5 \cdot 10^4 \div 3 \cdot 10^5$ лк величина $V_{\phi \ni H}$ практически насыщается. Для проверки экспоненциальности фотополяризаци-онных кривых были построены зависимости $\ell n \frac{V_{\phi \ni H}^{CT}}{V_{\phi \ni H}^{CT}}$ от ℓ для 3-х значений интенсив-ности ℓ 1, ℓ 2, ℓ 3 (рис. 3).

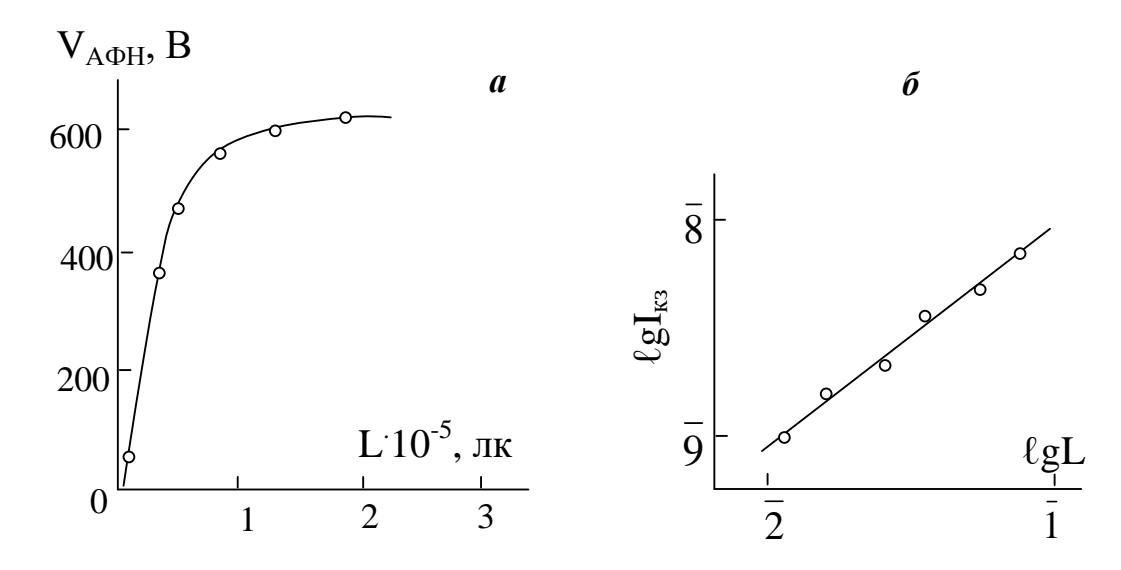


Рис. 2. Типичные люкс-вольтовая (a) и люкс-амперная (δ) характеристики фотовольтаических пленок CdTe : Ag

Видно, что кривые нарастания $\Phi \mathcal{P} C$ в пленках CdTe:Ag описывается переменным временем релаксации (τ_M). Если эти зависимости обработать согласно (4), то получаем времени релаксации фотопроводимости порядка 30 c. Поэтому начальный участок рис. 3, показанной пунктиром, определяется релаксацией фотопроводимости, а дальнейшая линейная часть, характеризуемой зависимостью (2), соответствует постоян-ному τ_M . Таким образом, получаем, что характеристическое время релаксации фотопроводимости, по-видимому, связанное с глубоким уровнем прилипания $\sim 30\,c$, а время максвелловской релаксации, около 60 c и более, что согласуется с данными измерения электропроводности.

Как известно, одним из важных условий возникновения $\Phi \supset C$ является выполнение закона взаимозаместимости, выражающееся в том, что в данной момент времени величина заряда фотоэлектрета определяется интенсивностью света и временем поляризации не в отдельности, а

только их произведением $L\cdot t$. Отметим, что выполнение этого закона проверяется с помощью изоопака фотополяризации, которая представляет собой зависимость между экспозицией Z и интенсивностью света L или временем экспозиции t при постоянном заряде фотоэлектрета. При линейной люкс-амперной характеристике ($\mathcal{A}X$) образца изоопака представляет собой горизонтальную линию, что соответствует выполнению закона взаимозаместимости. На рис. 2, 6 представлена ($\mathcal{A}X$) $A\Phi H$ пленок CdTe:Ag. Видно, что экспериментальная $\mathcal{A}X$ пленки является прямой линией в пределах освещенности $L=10^{-2}\div 10^{-1}$ Bm/cm^2 . Когда из кривых возрастания $V_{\Phi \ni H}$ (рис. 1, a) построилась изоопака фотополяризации для $A\Phi H$ пленок CdTe, активированного Ag, то действительно, она представляла собою горизонтальную прямую линию (рис. 1, 6).

Таким образом, для $A\Phi H$ пленки CdTe:Ag в исследованном интервале освещенности закон взаимозаетимости выполняется. Изоопака, приведенная на рис. 1, δ получена при комнатной температуре ($T=293\,^{\circ}K$). На рис. 4 и 5 приведены кривые фотополяризации при возбуждении естественным светом $A\Phi H$ пленок теллурида кадмия с примесью Cd и трехселенистой сурьмы с Se.

Кривые нарастания $V_{\phi \ni H}$ в этих пленках также подчиняются закону (2) и имеют в общих чертах одинаковый характер с аналогичными кривыми пленок CdTe: Ag. Фотополяризационные кривые пленок CdTe: Cd и Sb_2Se_3 : Se отличаются только тем, что время насыщения $V_{\phi \ni H}$ для них при одних и тех же освещенностях различно.

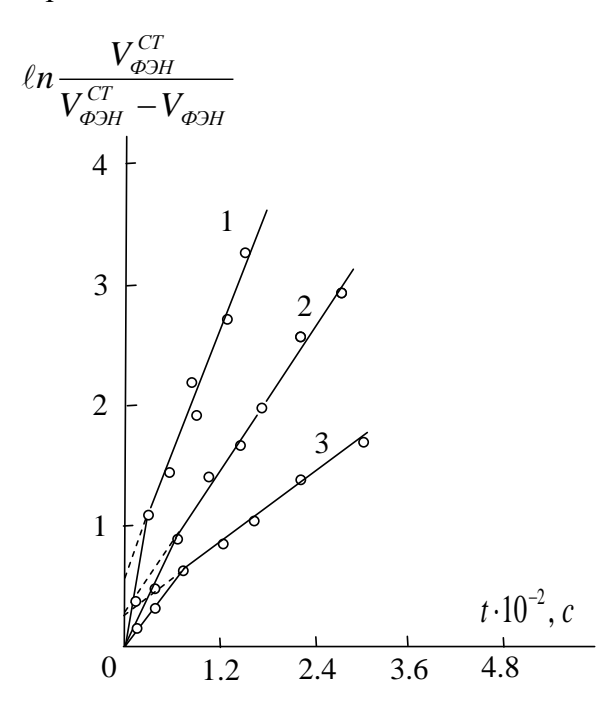


Рис. 3. Кривые нарастания $V_{\phi \ni H}$ при различных освещённостях: $L \cdot 10^{-2} = 1-8$, 2-4, 3-2 Вт/см².

По-видимому, это связано с различием максвелловской времени релаксации в пленках. Например, для полной фотополяризации пленки CdTe:Ag при освещенности $L\approx 0,1\ Bm/cm^2$ необхо-димо порядка 4 мин, в то же время как для поляризации пленок CdTe:Cd нужно время 6 мин (рис. 4 a), а для полной поляризации пленки $Sb_2Se_3:Se$ требуется всего ~ 1 мин (рис. 5. a).

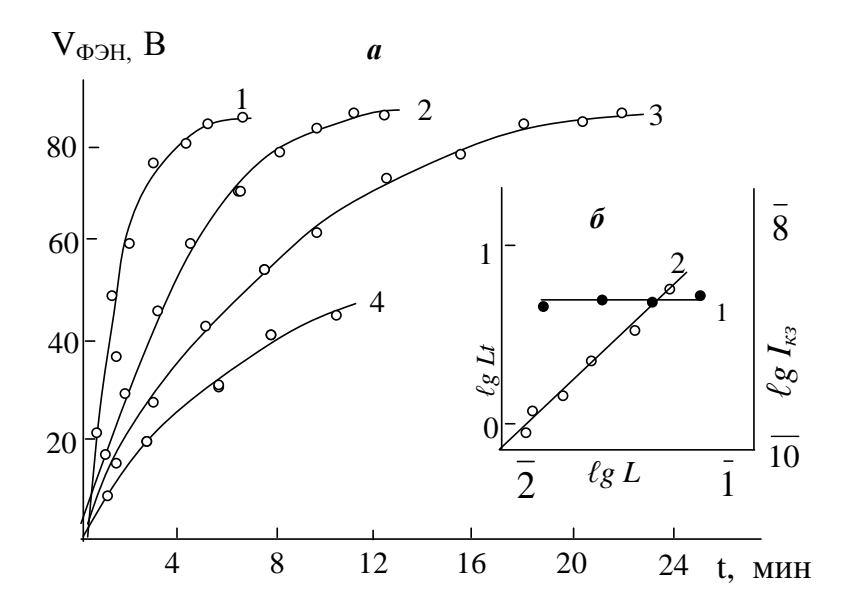


Рис. 4. Зависимости $V_{\phi \ni H}$ от времени фотополя-ризации фотовольтаической пленки CdTe:Cd, её изоопака поляризации (б,1) и πAX (б,2), полученные при T=293~K. Кривым 1-4 соответ-ствуют значения интенсивности, что и на рис. 1.

Для проверки закона взаимозаместимости пленок CdTe:Cd и $Sb_2Se_3:Se$ получены их изоопаки фотополяризации (рис. 4,6 и 5,6 кривые 1) и люкс-амперные характеристики (кривые 2). Полученные изоопаки в основном представляют собой горизонтальные прямые, а люкс-амперные характеристики —линейны. Следовательно, в исследованной области значений интенсивности света $10^{-2} \le L \le 10^{-1} \ Bm/cm^2$ закон взаимозаместимости для рассматри-ваемых пленок выполняется.

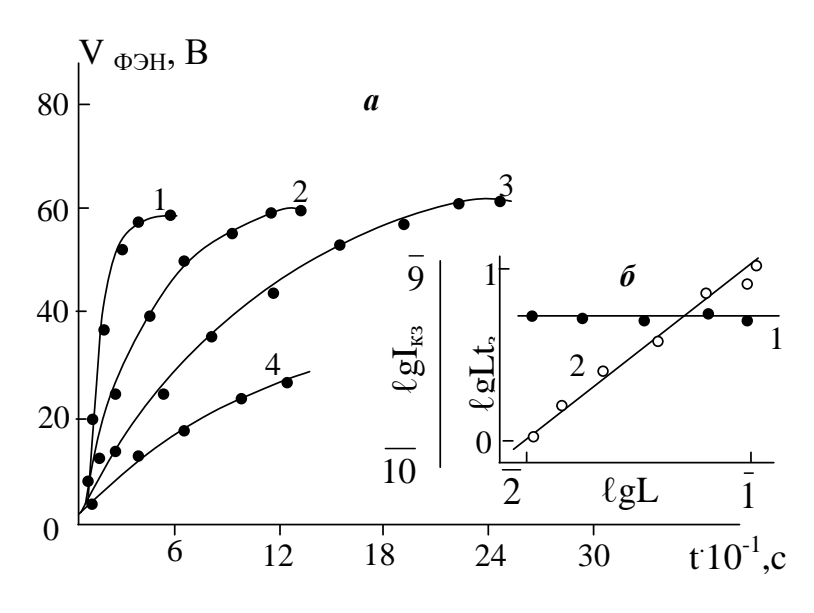


Рис. 5. Кривые фотополяризации (а), изопаака поляризации (б,1) и $\mathcal{L}AX$ (б,2) фотоэлектретной фотовольтаических пленки Sb_2Se_3 : Se при T=293~K. Кривым 1-4 соответствуют значения интенсивности, что и на рис. 1

Volume: 02 Issue: 12 | Dec 2021, ISSN: 2660-5317

Заключение. Отметим, что для изученных пленок с повышением температуры изоопака могут приобретать некоторый угловой коэффициент, например, при T = 350~K изоопака поляризации пленки CdTe:Ag имеет небольшой наклон с положительным угловым коэффициентом. А с понижением температуры и при слабых освещенностях изоопака имеет отрицательный угловой коэффициент. Эти отклонения, по-видимому, связаны с изменением линейности ΠAX от температуры, вследствие чего происходит тепловая ионизация или заполнение примесных центров носителями заряда. Эти процессы находятся в соответствии с теорией изоопака кристаллического фотоэлектрета, которая изложена выше и с результатами других авторов [11].

Список литературы

- 1. Адирович Э.И. Законы электронной поляризации и деполяризации кристаллов. ФТТ, 1961, т. 3, К 7, с. 2048-2050.
- 2. Фридкин В.М. Физические основы электрофотографического процесса. М.-Л., Энергия, 1966. 288 с.
- 3. Иванов Ю.Л., Рывкин С.М. Фотоэлектретный эффект в кремнии. ФТТ, 1963. Т.5. В.12. С.3541.
- 4. Нестеренко П.С. Кинетика образования фотоэлектретного состояния в сульфиде кадмия. ФТТ, 1974. Т.б. В. 6, С.1799.
- 5. Любин В.М., Фомина В.И. Фотоэлектретное и катодоэлектретное состояние в слоях $Te_2Se_3 \cdot As_2Se_3$. ФТТ, 1963. Т.5. В.12, С.3367.
- 6. Ковальский П.Н. Шнейдер А.Д. «Фотоэлектретный эффект в полупроводниках», Львов, Изд. при Львовском госуниверситете, 1977. 150 с.
- 7. Pillai C.K., Goel M. Photoelectrets and their Applications. Phys. Stat. Sol. (a) 1971. V. 7. №9. P.9.
- 8. Адирович Э.А. Фотоэлектретное состояние в полупроводниках с микро p-n-переходами, ФТП, 1970. Т.4. В.4. С. 745.
- 9. Адирович Э.И., Мастов Э.М., Мирзамахмудов Т., Найманбоев Р., Рубинов., Шакиров Н., Юабов В.М. В сб.: «Фотоэлектрические явления и оптоэлектроника». Изд. «Фан» , Ташкент, 1972. с.143.
- 10. Базакуца В.А., Кулибаба В.Д. Фотоэлектреты нового типа на основе АФН слоёв $Na_2S \cdot Sb_2Se_3$. ФТП, 1975. Т.9, В.7, С. 1432.
- 11. Эргашев Ж.Э., Юлдашев Н.Х. Фотоэлектретный эффект в полупроводниковых плёночных структурах. Фергана, "Фарғона": 2017. Монография. 180 стр.
- 12. Sultanov, N A.; Rakhimov, E T.; Mirzajonov, Z; and Yusupov, F T. (2021) "Photoluminescence spectra of silicon doped with cadmium," Scientifc-technical journal: Vol. 4: Iss. 3, Article Available at: https://uzjournals.edu.uz/ferpi/vol4/iss3/3.
- 13. Юлдашев Н. Х. и др. Фотоэлектретные пленки CdTe: Ag и Sb2Se3 при собственном и примесном поглощении света shape* MERGEFORMAT //Евразийский Союз Ученых. 2019. №. 3-4 (60).
- 14. Nurmatov, O.; Rahmonov, T.; Sulaymonov, Kh.; and Yuldashev, N. (2020) "Phototenzoelectric properties of polycrystalline films of chalcogenides of cadmium and zinc, produced by portional evaporation in vacuum," Euroasian Journal of Semiconductors Science and Engineering: Vol. 2: Iss. 5, Article 10. Available at: https://uzjournals.edu.uz/semiconductors/vol2/iss5/10